

The Effect of LiCl and Coagulation Bath Temperature on the Structure and Performance of PVDF Membranes

Marzieh Sedaghat^{1,2}, Reza Yegani^{1,2*}, Yoones Jafarzadeh^{1,2}, and Akram Tavakoli^{1,2}

1. Faculty of Chemical Engineering 2. Membrane Technology Research Center: Sahand University of Technology, P.O. Box: 51335-1996, Tabriz, Iran

Received: 18 December 2014, accepted: 6 May 2015

ABSTRACT

Polyvinylidene fluoride (PVDF) membranes are widely used in microfiltration and ultrafiltration processes for their excellent mechanical and chemical resistance and thermal stability in comparison with other polymeric membranes. Non-solvent induced phase separation (NIPS) is the most important method by which the PVDF membranes are prepared. The structure of the membranes prepared by NIPS method depends on different parameters including the concentration of the polymer solution, polymer molecular weight, the composition and temperature of coagulation bath, type of solvent and the presence of additives in the initial solution. In the present work, the effects of coagulation bath temperature and LiCl content of the dope solution were studied with respect to the structure and performance of PVDF membranes. N-Methyl-2-pyrrolidone and water were used as solvent and coagulation bath, respectively. A set of analytical techniques including: scanning electron microscopy, mechanical test, pure water permeability and mean pore radius of pores was used to characterize the membranes. Moreover, the separation of humic acid, a main biological contaminant in surface water resources, was studied to determine membranes performance. The results show that at constant coagulation bath temperature, presence of LiCl in the dope solution increased the number as well as the mean pore radius of the pores at the surface of membranes and consequently, pure water permeability of the membranes was increased, whereas, the mechanical strength and humic acid rejection of the membranes were dropped. Moreover, at a constant content of LiCl, increasing the coagulation bath temperature decreased the size of macrovoids so that the mechanical strength as well as humic acid rejection of the membranes was increased.

(*)To whom correspondence should be addressed.

E-mail: ryegani@sut.ac.ir

اثر افزودنی لیتیم کلرید و دمای حمام انعقاد بر ساختار و عملکرد غشاهای PVDF

مرضیه صداقت^۱، رضا یگانی^{*۲,۱}، یونس جعفرزاده^۱، اکرم توکلی^{۲,۱}

تبریز، دانشگاه صنعتی سهند، صندوق پستی ۱۹۹۶-۵۱۳۳۵؛
۱- دانشکده مهندسی شیمی، ۲- مرکز تحقیقات فناوری غشا

دریافت: ۱۳۹۳/۹/۲۷، پذیرش: ۱۳۹۴/۲/۱۶

چکیده

غشاهای پلیوینیلیدن فلوئورید (PVDF) به دلیل مقاومت مکانیکی و شیمیایی زیاد و پایداری گرمایی شایان توجه در مقایسه با سایر غشاها پلیمری در فرایندهای میکروفیلترکردن و فرافیلترکردن کاربرد گسترده‌ای دارند. مهم‌ترین روش به کار رفته برای ساخت غشاها PVDF روش جدایی فاز با القای ضدحلال است. ساختار غشاها پلیمری تهیه شده به این روش وابسته به عوامل متعددی از جمله ترکیب درصد پلیمر در محلول اولیه، وزن مولکولی پلیمر، نوع و دمای حمام انعقاد، نوع حلال و نیز وجود افزودنی در محلول اولیه است. در پژوهش حاضر، اثر دمای حمام انعقاد و افزودنی لیتیم کلرید (LiCl) بر ساختار و عملکرد غشاها PVDF بررسی شد. از نرمال متیل-۲-پیرولیدون (NMP) و آب به ترتیب به عنوان حلال و حمام انعقاد استفاده شد. برای تعیین مشخصات غشاها ساخته شده از آزمون‌های گوناگون از جمله میکروسکوپی الکترونی پویشی، تعیین استحکام مکانیکی، تراوایی آب خالص و تعیین شعاع متوسط حفره‌ها استفاده شد. همچنین، برای تعیین عملکرد غشاها، جداسازی محلول هیومیک اسید به عنوان ماده زیستی شاخص آلاینده در آب‌های سطحی بررسی شد. نتایج به دست آمده نشان می‌دهد، در دمای مشخصی از حمام انعقاد، وجود افزودنی LiCl باعث افزایش تعداد و اندازه متوسط شعاع حفره‌های سطحی غشاها شده و در نتیجه مقدار تراوایی آب خالص افزایش اما استحکام مکانیکی و مقدار پس‌زنی هیومیک اسید کاهش می‌یابد. افزون بر این مشاهده شد، در هر غلظتی از LiCl، افزایش دمای حمام انعقاد باعث کاهش اندازه درشت حفره‌ها در ساختار غشاها و در نتیجه افزایش استحکام مکانیکی غشاها و مقدار پس‌زنی هیومیک اسید می‌شود.

واژه‌های کلیدی

PVDF،
غشاها
افزودنی Cl،
میکروفیلترکردن،
جدایی فاز با القای ضدحلال،
هیومیک اسید

* مسئول مکاتبات، پیام‌نگار:
ryegani@sut.ac.ir

مقدمه

نسبتاً به کندی اتفاق می‌افتد، غشا ساختار نامتقارن پیدا می‌کند [۷،۸]. درنتیجه، غشاها ساخته شده به روش NIPS در سطح بیرونی اندازه حفره کوچک‌تر و در بخش داخلی اندازه حفره بزرگ‌تر دارند. این همان ساختار نامتقارنی است که لوئب-سوریراجان آن را در ۱۹۶۴ توسعه داده است [۴].

غشاها ساخته شده به روش NIPS، در محدوده گستره‌ای از فرایندهای غشاپردازی به کار می‌روند. از جمله مزایای این روش می‌توان به استحکام مکانیکی و تراوایی زیاد و کنترل آسان اندازه حفره‌های غشا در مرحله ساخت اشاره کرد [۹]. ساختار غشاها که به روش NIPS تهیه می‌شوند، به ترمودینامیک و سیتیک سامانه پلیمر-حلال-ضدحلال وابسته است. ترمودینامیک سامانه نشان‌دهنده نواحی پایداری و جدایی فاز است و نقش عمدتی در فرایند تشکیل غشا و نوع سازوکار آن دارد. سیتیک سامانه شامل سرعت تبخیر حلال در مرحله خشکشدن و سرعت جدایی فاز در مرحله غوطه‌وری در حمام ضدحلال است. حلالی که برای ساخت غشاها PVDF در روش NIPS به کار برده می‌شود، نقش مهمی در تعیین ساختار و عملکرد غشا نهایی ایفا می‌کند. Bottino و همکاران براساس برهم‌کنش PVDF و چهل و شش حلال مختلف، هشت حلال مناسب را برای تهیه غشاها PVDF انتخاب کردند [۱۰]. از میان حلال‌های معرفی شده توسط آنها، نرمال متیل-۲-پیرولیدون (NMP)، دی‌متیل استامید (DMAc)، دی‌متیل فرمامید (DMF) و دی‌متیل سولفوكسید (DMSO) به طور گسترده به عنوان حلال‌های قوی با دمای جوش زیاد به کار برده می‌شوند [۱۰].

حمام انعقاد عامل مهمی در ساخت غشاها PVDF است. با توجه به اینکه PVDF غشا نیمه‌بلوری است، تشکیل غشاها PVDF با دو سازوکار جدایی فاز مایع-مایع و جامد-مایع کنترل می‌شود. نوع حمام انعقاد از مهم‌ترین عوامل ترتیب رخداد این دو سازوکار در فرایند تشکیل غشا به روش NIPS به شمار می‌آید. عموماً از آب به عنوان ضدحلال در ساخت غشاها PVDF به روش NIPS استفاده می‌شود و با توجه به اینکه آب قدرت زیادی برای حل کردن حلال دارد، سازوکار جدایی مایع-مایع سریع‌تر اتفاق افتاده و به تشکیل ساختار نامتقارن با حفره‌های انگشتی منجر می‌شود [۱۱، ۱۲]. افزودن مقداری از حلال به حمام انعقاد آب باعث ایجاد تأخیر در جدایی مایع-مایع می‌شود که باعث تشکیل ساختار شبکه اسفنجی می‌شود [۵، ۱۳].

اضافه کردن ضدحلال به محلول اولیه پلیمری، روشنی برای بهبود ساختار و افزایش عملکرد غشا به شمار می‌آید. افزودنی می‌تواند به عنوان سازنده حفره، عامل افزایش گرانزوی محلول یا عامل تسریع

فناوری غشاپردازی امروزه در صنایع گوناگون از جمله تصفیه آب و فاضلاب، صنایع غذایی و لبني، صنایع داروسازی و پزشکی و صنایع گاز و پتروشیمی کاربرد گسترده‌ای پیدا کرده است. استفاده از فناوری غشاپردازی در صنایع تصفیه آب را می‌توان از مهم‌ترین کاربردهای غشاها دانست. از مهم‌ترین فرایندهای غشاپردازی توسعه یافته در تصفیه آب می‌توان به میکروفلیتر کردن، فرافیلتر کردن، نانوفیلتر کردن و اسمز معکوس اشاره کرد [۱۳].

در صد زیادی از غشاها که تاکنون در تصفیه آب استفاده شده‌اند، غشاها پلیمری هستند. علت گسترش استفاده از این غشاها مربوط به سادگی ساخت، ارزان‌بودن و فرایندپذیری آنهاست [۴]. از میان غشاها پلیمری، غشا پلی‌وینیلیدن فلوئورید (PVDF) در سال‌های اخیر از رشد چشمگیری برخوردار بوده است. PVDF به دلیل خواص بر جسته نظیر استحکام مکانیکی زیاد، پایداری گرمایی خوب، مقاومت شیمیایی و آبگریزی زیاد، در مقایسه با سایر مواد پلیمری رایج مورد توجه بسیاری از پژوهشگران قرار گرفته است. به عنوان پلیمر نیمه‌بلوری، فاز بلوری PVDF پایداری دمایی و فاز بی‌شکل آن انعطاف‌پذیری مطلوب غشاها را فراهم می‌کند [۵]. طول عمر غشاها ساخته شده از PVDF در فرایندهای معمولی حدود ۳ تا ۵ سال و در فرایندهای مرتبط با تصفیه آب ۵ تا ۱۰ سال گزارش شده است. این غشاها کاربرد گسترده در میکروفلیتر کردن دارند و به تازگی نیز به عنوان انتخابی مناسب در تماس دهنده‌های غشاپردازه شده‌اند [۴]. از ۱۹۸۰ تاکنون، مطالعات زیادی درباره غشاها PVDF انجام شده است، با وجود این، ساخت غشا PVDF با عملکرد عالی هنوز هم به عنوان یکی از چالش‌های مهم مطرح است. روش‌های مختلفی برای ساخت غشاها PVDF به کار گرفته شده است که از جمله آنها می‌توان به روش‌های پخت گرمایی، حک اثر و جدایی فاز اشاره کرد. روش جدایی فاز اصلی ترین روش ساخت غشاها پلیمری به شمار می‌آید [۶، ۷]. بنابراین، امروزه جدایی فاز عمده‌ترین روش ساخت غشاها صنعتی PVDF به شمار می‌رود. از این میان، در بیشتر کارهای انجام یافته از روش جدایی فاز با القای ضدحلال (NIPS) برای ساخت غشاها PVDF استفاده شده است [۵]. روش NIPS فرایندی است که در آن ضدحلال با محلول پلیمری تماس پیدا کرده و در نتیجه آن توان اتحلال‌پذیری پلیمر در حلal کاهش و جدایی فاز اتفاق می‌افتد. این پدیده ناشی از رسوخ ضدحلال به داخل محلول پلیمری در اثر نفوذ است [۷]. با توجه به اینکه جدایی فاز در سطح غشا، محلی که رسوخ شروع می‌شود، سریع‌تر و در بخش داخلی غشا، محلی که رسوخ پیش روی می‌کند،

بر غشاها PVDF انجام شده است. اما، نتایج متفاوت و در بعضی موارد عکس یکدیگر، لزوم بررسی مجدد آثار این افزودنی را برای رسیدن به جمع‌بندی جامع ایجاب می‌کند، افزون بر این، با وجود بررسی‌های انجام شده درباره دمای حمام انعقاد، رفتار محلول PVDF حمام‌های انعقاد با دمای‌های کمتر و بیشتر از دمای محلول، از جنبه‌های متقابل ترمودینامیکی و سیستیکی بررسی نشده است. به همین منظور در پژوهش حاضر، بررسی اثر دمای حمام انعقاد و وجود افزودنی LiCl در ساختار و عملکرد غشاها PVDF در فیلترکردن هیومیک اسید به عنوان یکی از آلاینده‌های اصلی آب‌های سطحی بررسی شده است.

تجربی

مواد

برای ساخت غشاها از PVDF به عنوان پلیمر، NMP به عنوان حلal و LiCl به عنوان افزودنی استفاده شد. ویژگی این مواد به همراه سایر مواد استفاده شده در این پژوهش در **جدول ۱** آمده است.

دستگاه‌ها و روش‌ها

ساخت غشا

ابتدا مقادیر لازم از پلیمر، حلal و افزودنی وزن شد و داخل ظرف شیشه‌ای دربسته قرار گرفت و به مدت ۳ h همزده شد. محلول به دست آمده حدود ۲۴ h در دمای محیط قرار گرفت تا جباب‌های گاز به طور کامل از آن خارج شود. درادامه، محلول روی شیشه‌ای صاف با استفاده از تیغه راهنمای خودکار (CoaTest, Taiwan) کشیده شد. ضخامت غشاها $150 \mu\text{m}$ و سرعت کشیده‌شدن روی شیشه برای همه غشاها 5 mL/s در نظر گرفته شد. پس از آن، شیشه در

فرایند جدایی فاز عمل کند. افزودنی‌ها به سه گروه عمله افزودنی‌های با وزن مولکولی کم و زیاد و سایر افزودنی‌ها دسته‌بندی می‌شوند [۵]. نمک‌های معدنی مانند لیتیم کلرید (LiCl)، از مهم‌ترین افزودنی‌های با وزن مولکولی کم هستند که توجه زیادی را به عنوان سازنده حفره در غشاها PVDF به خود جلب کرده‌اند. Bottino و همکاران [۱۴] نشان دادند، افزایش مقدار LiCl در محلول اولیه پلیمری موجب تشکیل حفره‌های بزرگ در ساختار غشاها افزایش و استحکام مکانیکی PVDF شده و بنابراین تخلخل غشاها افزایش و استحکام مکانیکی آنها کاهش می‌یابد. زیرا، تمایل زیاد LiCl به حل شدن در آب موجب افزایش سرعت جدایی فاز و رسوب پلیمر می‌شود. نتایج به دست Bottino و همکاران Tomaszevska [۱۵] مشابه نتایج آمده توسط Wang و همکاران نشان دادند، استفاده از مخلوط ضدحال و LiCl در محلول اولیه، باعث بهبود استحکام مکانیکی و افزایش شارعبوری از غشاها ایاف نازک توخالی PVDF می‌شود [۱۶].

در پژوهش Fontananova و همکاران مشاهده شد، تشکیل درشت حفره در ساختار غشاها PVDF کاهش می‌یابد. آنها برای توجیه این پدیده از رقابت ترمودینامیک و سیستیک در فرایند جدایی فاز استفاده کرده و مدعی شدند، LiCl در غلاظت‌های کم بنا به اثر ترمودینامیکی به عنوان افزایش دهنده شارعمل می‌کند و باعث افزایش سرعت جدایی فاز از نوع مایع-مایع می‌شود، در حالی که در غلاظت‌های زیاد، بنا به اثر سیستیکی که موجب فرایند جدایی تأثیری می‌شود، تشکیل درشت حفره‌ها را متوقف می‌سازد [۱۷]. منصوری‌زاده و اسماعیل [۱۸] اثر LiCl را روی ساختار و نیز عملکرد غشاها ایاف نازک توخالی PVDF در جذب CO_2 بررسی کرده و نشان دادند، با افزایش مقدار LiCl در محلول اولیه، ساختار غشاها حاصل از شبکه‌انگشتی به اسفنجی تغییر می‌کند.

همان‌طور که گفته شد، کارهای زیادی درباره اثر افزودنی LiCl

جدول ۱- مواد استفاده شده در این پژوهش.

شرکت سازنده	(g/mol)	وزن مولکولی (g/mol)	چگالی (g/cm ³)	عملکرد	ماده
Arkema- kynar	-		۱/۷۸	پلیمر	PVDF
Daejung	۹۹/۱۳		۱/۰۲۸	حلال	NMP
Merck	۴۲/۳۹		۲/۰۶۸	افزودنی	لیتیم کلرید
سرم‌سازی قاضی	۱۸		۱	حمام انعقاد و آزمون PWP	آب یون زدوده
Merck	-		-	آلاینده آب	هیومیک اسید

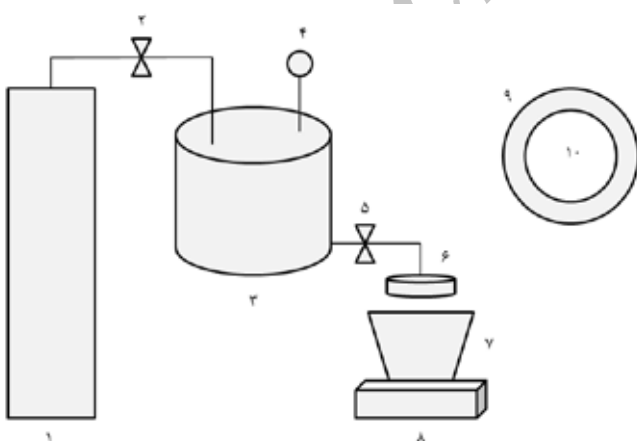
در این معادله، ϵ تخلخل کلی، w_1 وزن غشای تر، w_2 وزن غشای خشک، d_w چگالی آب و d_p چگالی پلیمر است. حداقل سه نمونه از بخش‌های مختلف هر غشا بریده و از میانگین تخلخل به دست آمده در محاسبه شعاع متوسط حفره‌ها استفاده شد.

آزمون تراوایی آب خالص

این آزمون طی فرایند ناپیوسته در دستگاهی انجام شد که طرحی از آن در **شکل ۱** نشان داده شده است، در شروع هر آزمون ابتدا غشای مدنظر به مدت ۵ min در اتanol خیس شد تا نیروی محکه لازم برای عبور آب از غشا فراهم شود. برای اطمینان از رسیدن به شرایط پایدار برای هر نمونه، زمان نمونه‌گیری ۱ پس از بازکردن شیرها در نظر گرفته شد. آب مقطر با فشار $4/5$ bar از سطح هر غشا عبور داده شد و در شروع زمان نمونه‌گیری، فشار در ۲ bar تنظیم شد. جرم آب عبوری از سطح هر غشا به مدت ۱۰ min با ترازو و وزن شد. این آزمون برای هر نمونه سه مرتبه تکرار شد. تراوایی آب غشاها از معادله (۲) محاسبه شد [۲۰]:

$$\epsilon_w = \frac{Q}{A \Delta P} \quad (2)$$

در این معادله، Q حجم آب عبوری در واحد زمان (L/h)، A سطح مقطع غشا (cm^2) و ΔP اختلاف فشار اعمال شده است. تمام آزمون‌ها در دمای $27^\circ C$ انجام شد.



شکل ۱- طرح کلی دستگاه تراوایی آب خالص: (۱) کپسول نیتروژن، (۲) و (۵) شیر، (۳) مخزن آب خالص، (۴) فشارسنج، (۶) مدلول غشا، (۷) ظرف جمع آوری آب، (۸) ترازوی رقیقی، (۹) تصویر دید از بالای مدلول غشا و (۱۰) غشای داخل مدلول.

حمام ضدحال قرار داده شد تا جدایی فاز اتفاق بیفتد. حین فرایند تشکیل غشا، مقداری از حلال آن خارج می‌شود. برای خارج شدن حلال باقی مانده، غشاها تهیه شده به مدت چهار شباهه روز در حمام آب قرار گرفته و هر روز آب آنها تعویض شد. غشاها آماده شده در دمای محیط خشک و بسته به نوع ارزیابی، آماده شدند.

در پژوهش حاضر، دمای حمام انعقاد و مقدار افزودنی LiCl به عنوان متغیر در نظر گرفته شده و دمای حمام در چهار سطح $15^\circ C$ ، $30^\circ C$ ، $40^\circ C$ و $50^\circ C$ و مقدار افزودنی در سه سطح 0% ، $2/5\%$ و 5% وزنی بررسی شدند. ترکیب درصد پلیمر در تمام محلول‌ها ثابت و برابر 18% وزنی در نظر گرفته شد.

میکروسکوپی الکترونی پویشی (SEM)
برای به دست آوردن تصاویر از ساختار غشاها، میکروسکوپ الکترونی پویشی Czech CamScan به کار گرفته شد. نمونه‌ها پس از خشک شدن در دمای محیط، با نیتروژن مایع شکسته شدند. از نمونه‌های شکسته شده برای مشاهده تصاویر مربوط به سطح مقطع غشاها استفاده شد. نمونه‌های موجود پس از چسباندن روی نگهدارنده‌های ویژه، با طلا روکش داده شده و سپس به کمک میکروسکوپ تصاویر آنها به دست آمد.

طیف‌سنجی زیرقرمز تبدیل فوریه (FTIR)
برای تعیین گروه‌های عاملی موجود در غشاها از طیف‌سنج زیرقرمز تبدیل فوریه مدل BRUKER-TENSOR27 استفاده شد.

آزمون استحکام مکانیکی

برای تعیین استحکام مکانیکی غشاها از دستگاه کشش STM-5 ساخت سنتام ایران استفاده شد. از هر غشا نمونه‌ای با طول $8 cm$ و عرض $1 cm$ بریده شد. طول $5 cm$ از آنها به عنوان طول مؤثر در نظر گرفته شد و از $1/5 cm$ از هر طرف برای محکم کردن دو طرف غشا در فک‌های دستگاه استفاده شد. سرعت کشیده شدن در همه نمونه‌ها $50 mm/s$ بود. برای هریک از نمونه‌ها، آزمون تعیین استحکام مکانیکی سه مرتبه تکرار شد.

آزمون تخلخل

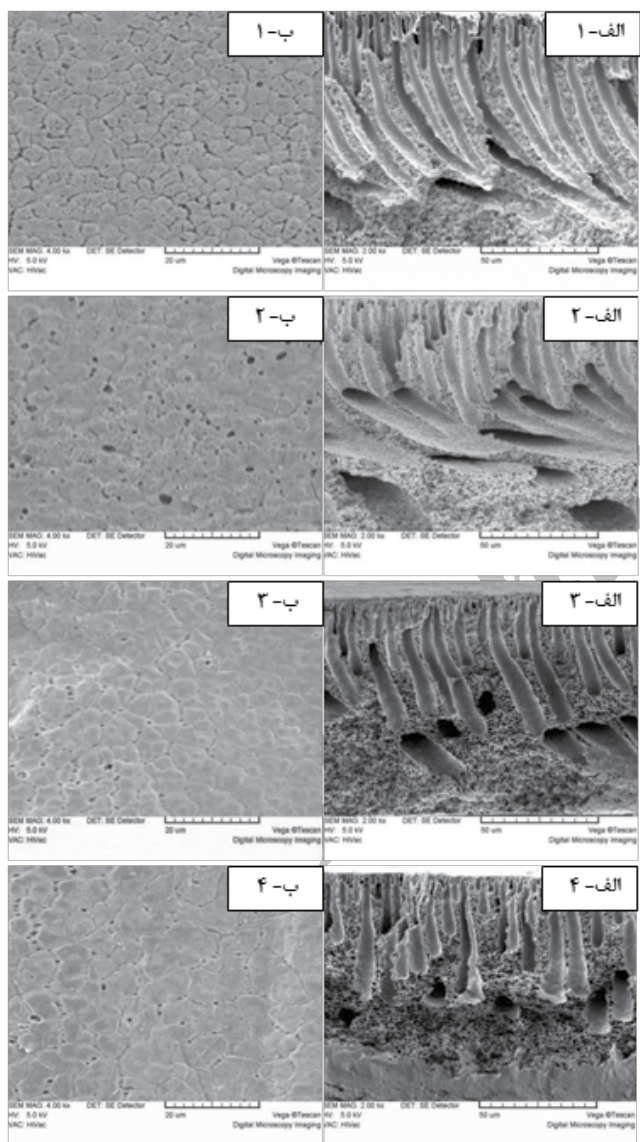
تخلخل کلی غشاها به روش ارائه شده در مرجع [۱۹] و براساس معادله (۱) محاسبه شد:

$$\epsilon = \frac{(w_1 - w_2) / d_w}{(w_1 - w_2) / d_w + w_2 / d_p} \quad (1)$$

نتایج و بحث

تصاویر SEM

تصاویر SEM سطح مقطع و سطح بیرونی غشاها تخت در غلطت ثابت از افزودنی LiCl (۲/۵٪ وزنی) در **شکل ۲** نشان داده شده است. تصاویر مربوط به سطح مقطع غشاها نشان می‌دهد، در غلطت مشخص افزودنی، با افزایش دما طول درشت‌حفره‌ها کاهش می‌یابد که به معنی کنترل شدن سامانه با جنبه ترمودینامیکی پارامتر دما در برابر جنبه سیستمی آن است. در توضیح این نتیجه می‌توان گفت،



شکل ۲- تصاویر SEM غشاها تخت، PVDF ۱۸٪ و ۲/۵٪ افزودنی LiCl با حلal NMP: (الف) سطح مقطع و (ب) سطح بالا و در حمام آب با دماهای (۱) ۱۵°C، (۲) ۳۰°C، (۳) ۴۰°C و (۴) ۵۰°C.

تعیین شعاع متوسط حفره‌ها

برای تعیین شعاع متوسط حفره‌های سطحی غشاها از روش ارائه شده مبتنی بر تراوایی آب خالص استفاده شد. در این روش، ابتدا حجم آب خالص عبوری از غشاها اندازه‌گیری شده و سپس براساس معادله پیشنهادی Guerout-Elford-Ferry (GEF) (معادله ۲) شعاع متوسط حفره‌ها محاسبه شد [۲۰، ۲۱]:

$$r_m = \sqrt{\frac{8\eta IQ(2.9 - 1.75\epsilon)}{\epsilon A \Delta P}} \quad (3)$$

در این معادله، r_m شعاع متوسط حفره‌ها، η گرانزوی آب خالص، I ضخامت غشا، Q حجم آب عبور داده شده از غشا، ϵ تخلخل کلی، A سطح غشا و ΔP فشار اعمال شده روی غشاست.

ارزیابی عملکردی

برای تعیین عملکرد غشاها ساخته شده در فرایند تصفیه آب، جداسازی محلول هیومیک اسید به عنوان یکی از مهم ترین آرینده‌های آب‌های سطحی مطالعه شد. این محلول از انحلال ۱ g هیومیک اسید در ۱ L آب مقطر در pH ۷/۰ تهیه شد. سپس، داخل دستگاه جداسازی ریخته شد. برای جلوگیری از تهشیش شدن هیومیک اسید، محلول داخل دستگاه با سرعت ۱۰۰ rpm میزد شد. پس از آزمون تراوایی آب خالص، مدول غشا به مخزن حاوی محلول هیومیک اسید متصل و عمل فیلترکردن حدود ۶۰ min در فشار ۴/۵ bar انجام شد. با توجه به اینکه غشاها ساخته شده از نوع فرایلترکردن بوده و محدوده فشار چنین غشاها بین ۱ bar تا ۵ bar است، همچنین با توجه به استحکام مکانیکی زیاد غشاها، از فشار ۴/۵ bar برای این آزمون استفاده شد. آزمون‌ها نیز در دستگاهی مشابه با **شکل ۱** انجام شد، با این تفاوت که از همزنی برای همزدن محلول درون آن استفاده شد. غلطت هیومیک اسید در فاز عبوری از غشاها براساس روش جذب و با طیف‌سنج Bio Quest مدل CE2501 اندازه‌گیری شد. ابتدا محلول‌هایی از هیومیک اسید با غلطت مشخص تهیه و داخل دستگاه جذب قرار داده شد و براساس آن منحنی کالیبره کردن به دست آمد. در نهایت، مقدار دفع هیومیک اسید با غشاها براساس معادله (۴) محاسبه شد:

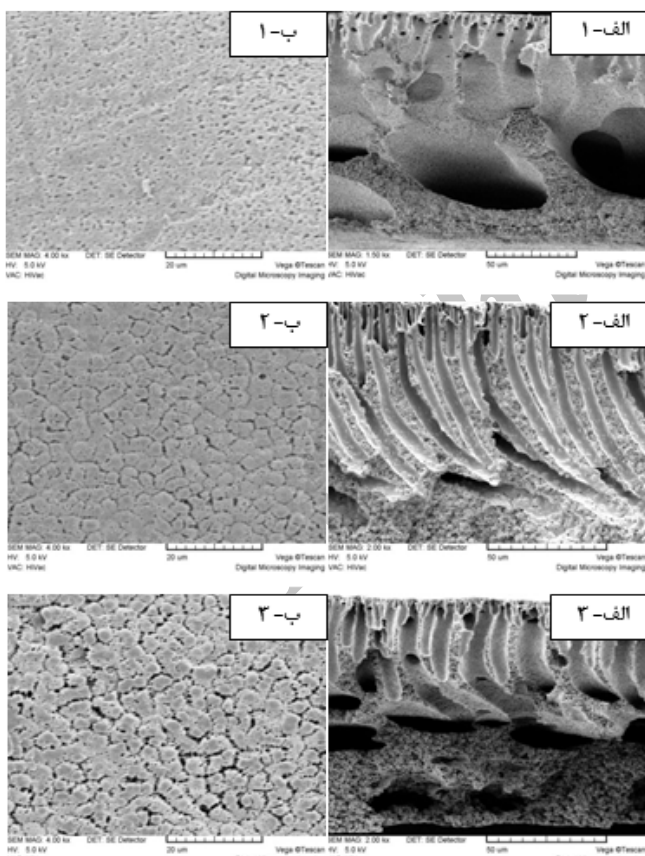
$$R(\%) = \left(\frac{C_{pha} - C_{fha}}{C_{fha}} \right) \times 100 \quad (4)$$

در این معادله، C_{pha} و C_{fha} غلطت هیومیک اسید به ترتیب در خوراک و فاز عبوری از غشاهاست که با استفاده از دستگاه جذب و براساس منحنی کالیبره کردن حاصل می‌شود.

همکاران نیز پدیده مشابهی را برای پلیمر PVDF با حلal c مشاهده کردند [۲۲].

شکل ۳ تصاویر SEM از مقطع و سطح بالای غشاها تهیه شده را در دمای ۱۵°C حمام و غلظت‌های مختلف افزودنی LiCl نشان می‌دهد. مشاهده می‌شود، در حالتی که هیچ افزودنی معدنی در محلول نباشد، حفره‌های بسیار بزرگی در ساختار غشا وجود دارد که به دلیل اثر نامناسب روی استحکام مکانیکی، به عنوان ساختاری نامطلوب به شمار می‌آید. برای رفع این مشکل، به طور عمدۀ از افزودنی‌های معدنی در محلول پلیمری استفاده می‌شود.

با افزایش غلظت افزودنی LiCl در حالت کلی، اندازه درشت‌حفره‌ها کاهش یافته است. Fontananova و همکاران [۱۷] نیز نشان دادند، LiCl در غلظت‌های کم‌بنا به اثر ترمودینامیکی باعث افزایش سرعت زیاد بنا به اثر سیستیکی که موجب فرایند جدایی تأخیری می‌شود، تشکیل درشت‌حفره‌ها را متوقف می‌سازد. درباره حفره‌های انگشتی



شکل ۳- تصاویر SEM غشاها ساخته شده در حمام انعقاد با دمای ۱۵°C: (الف) سطح مقطع و (ب) سطح بالا، همراه با افزودنی LiCl در غلظت‌های: (۱) ۰٪، (۲) ۲/۵٪ و (۳) ۵٪.

به طور کلی دما هم بر سیستیک و هم بر ترمودینامیک فرایند جدایی فاز اثر می‌گذارد. از نظر سیستیکی، افزایش دما به سرعت بخشیدن فرایند جدایی فاز منجر می‌شود و جدایی آنی، تشکیل درشت‌حفره را القا می‌کند. اما از دیدگاه ترمودینامیکی، افزایش دما با توجه به معادله $\Delta G_m = \Delta H_m - T\Delta S_m$ باعث کاهش انرژی گیس اختلاط محلول و در نتیجه پایدارتر شدن آن می‌شود. بنابراین، جدایی فاز تأخیری را القا می‌کند و این موضوع به تشکیل ساختار سلولی منجر می‌شود. به عبارت دیگر پایداری سامانه، فرصت کافی برای تبادل آهسته حلال و ضدحلال را فراهم می‌آورد که زمینه تشکیل ساختار سلولی است. بنابراین، افزایش دما بسته به غالبدون سیستیک یا ترمودینامیک فرایند می‌تواند به تشکیل دو نوع ساختار کاملاً متفاوت منجر شود. حال با توجه به مقدمه بیان شده و با فرض اینکه محیط در دمای ۳۰°C قرار دارد، زمانی که دمای حمام برابر دمای محیط باشد، از آنجا که دمای محلول با دمای محیط برابر است، هیچ اختلاف دمایی بین حمام و محلول پلیمری وجود ندارد، اما در حمام‌های ۱۵، ۴۰ و ۵۰°C نیم‌رخ دما در فیلم پلیمری غوطه‌ور در آب بر دو وجه متمایز ایجاد می‌شود. اگر دمای حمام کمتر از دمای محیط باشد، گرادیان دمای افزایشی در طول فیلم و در جهت نفوذ آب وجود دارد. زیرا، محلول پلیمری در تماس مستقیم با حمام آبی است که دمای کمتری از آن دارد و در نتیجه پایداری ترمودینامیکی محلول کاهش یافته و به دنبال آن سرعت انعقاد محلول افزایش می‌یابد. افزون بر این، انحلال حلال NMP در آب فرایندی گرماده است، بنابراین دمای کمتر حمام، فرایند انحلال NMP را در آب آسان می‌کند. بنابر دو دلیل بیان شده می‌توان نتیجه گرفت، برای پلیمر PVDF با حلal NMP و حمام آب، در حمام‌های با دمای کمتر از دمای محیط، نسبت به حالتی که حمام انعقاد در دمای محیط قرار دارد، سرعت انعقاد محلول پلیمری بیشتر و در نتیجه تخلخل انگشتی بیشتر است. بر عکس در حمام با دمای بیشتر از دمای محیط، تماس محلول پلیمری با حمام گرم به افزایش دمای آن منجر می‌شود. در نتیجه، پایداری ترمودینامیکی افزایش یافته، جدایی فاز به تأخیر می‌افتد. بنابراین انتظار می‌رود، نسبت به حمام در دمای محیط، غشا ساختاری با حفره‌های بزرگ، کمتر و در مقابل ساختار اسفنجی بیشتری داشته باشد.

تصاویر SEM از سطح بیرونی غشاها PVDF با ۲/۵٪ افزودنی LiCl نشان می‌دهد، با افزایش دما تخلخل سطحی غشاها کاهش می‌یابد. علت این پدیده نیز افزایش پایداری ترمودینامیکی با افزایش دماست که باعث به تأخیر افتادن فرایند جدایی فاز و کاهش تشکیل حفره‌های بزرگ سطحی می‌شود. در نتیجه در دماهای کم، ژل شدن سازوکار غالب حین تشکیل ساختار متخلخل غشاست. Wang و

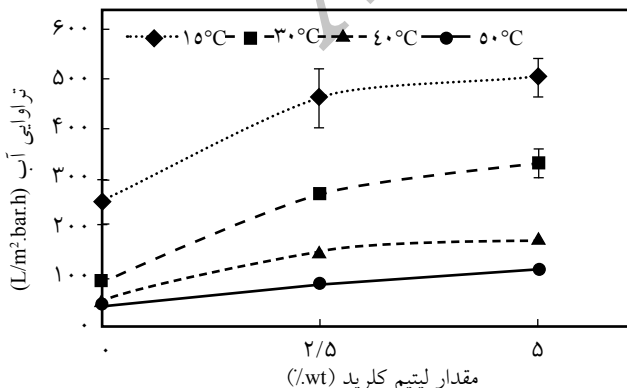
عامل اثرگذار و بهتر است. در غلظت‌های زیاد LiCl اثر سیستیکی یعنی افزایش گرانزوی محلول و جدایی تأخیری سازوکار غالب است که مانع رشد حفره‌های انگشتی می‌شود. بنابراین، اندازه حفره‌ها بار دیگر کاهش می‌یابد.

آزمون طیف‌سنج ذیوقمز تبدیل فوریه (FTIR)

نتایج آزمون FTIR مربوط به غشاها تهیه شده از محلول PVDF خالص و حاوی ۵٪ وزنی LiCl در محدوده $4000\text{--}500\text{ cm}^{-1}$ در **شکل ۴** نشان داده شده است. پیک‌های مشاهده شده در ۹۷۶، ۸۵۵ و 766 cm^{-1} مربوط به بلور α پلیمر PVDF است و پیک مشاهده شده در حوالی 2960 cm^{-1} مربوط به گروه C-H و پیک 1220 cm^{-1} مربوط به گروه C-F است. همان‌طور که مشاهده می‌شود، شباهت کاملی بین نمودارهای FTIR برای غشاها تهیه شده از محلول‌های خالص PVDF و محتوی ۵٪ وزنی LiCl وجود دارد که نشان‌دهنده نبود LiCl در غشاها تهیه شده از محلول حاوی آن است. برای غشاها تهیه شده از محلول حاوی ۲/۵٪ وزنی از LiCl نتیجه مشابهی حاصل شد.

تروایی آب خالص و شاعع متوسط حفره‌ها

اثر دمای حمام انعقاد بر مقادیر مختلف LiCl روی تراوایی آب خالص در **شکل ۵** نشان داده شده است. همان‌طور که مشاهده می‌شود، با افزایش دما مقدار تراوایی آب خالص کاهش یافته است. این کاهش می‌تواند ناشی از دو دلیل باشد: اول اینکه با افزایش دما تعداد و اندازه حفره‌های سطحی کاهش یافته و در نتیجه بدیهی است که تراوایی آب خالص نیز کاهش می‌یابد. دوم اینکه مطابق مطالب پیش‌گفته، با افزایش دما کاهش حفره‌های بزرگ شبه‌انگشتی در توده غشا اتفاق می‌افتد. حفره‌های سطحی در فرایند تراوایی آب نقش مهم تری از تخلخل عمقی غشا دارند، بنابراین می‌توان چنین اذعان داشت، کاهش



شکل ۵- اثر دمای حمام و غلظت افزودنی بر تراوایی آب خالص غشاها.

نیز مشاهده می‌شود، در غلظت صفر از افزودنی این حفره‌ها بسیار کوتاه و پهن هستند. با افزایش غلظت LiCl از ۰ به ۲/۵٪ وزنی طول این حفره‌ها افزایش یافته و تا دو سوم از عرض غشا را به خود اختصاص می‌دهد. با افزایش بیشتر غلظت LiCl طول این حفره‌ها مجدداً کاهش یافته است. سه اثر مهمی را که افزودنی معدنی می‌تواند در محلول پلیمری و ساختار غشا ایجاد کند، عبارت‌اند از:

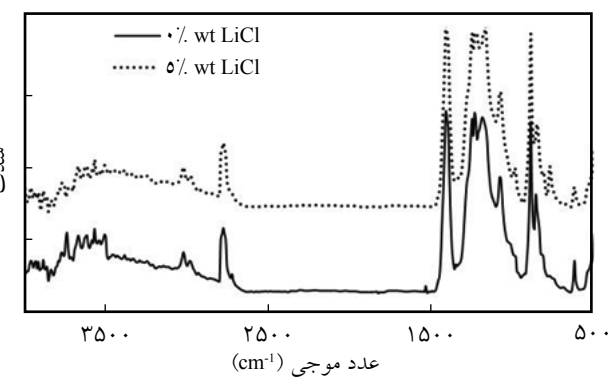
- نقش حفره‌ساز،

- تغییر در سازگاری و پایداری ترمودینامیکی محلول و

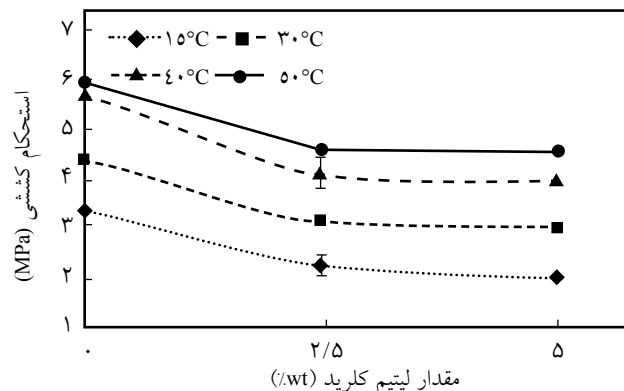
- تغییر گرانزوی محلول و سرعت فرایند جدایی فاز.

افزودنی معدنی LiCl هر سه اثر را در محلول پلیمری و ساختار غشاها حاصل از پلیمر PVDF دارد. LiCl جاذب آب است و در آب حل می‌شود، در نتیجه، در مرحله استخراج می‌تواند در حمام آب حل شده و از شبکه غشا خارج شود و تولید حفره کند. از طرفی، چون به عنوان ضدحلال به محلول پلیمری اضافه می‌شود با PVDF ناسازگار است و باعث ناپایداری سامانه شده و جدایی مایع-مایع را تسريع و به تشکیل حفره‌های بزرگ منجر می‌شود [۱۷].

[۲۳] اثر مقدار Li و Kong با دو حلal NMP و PVDF بررسی و مشاهده کردند، با افزایش غلظت LiCl، گرانزوی محلول نیز به طور غیرخطی افزایش می‌یابد. علت این افزایش از یک طرف برهم‌کنش بین حلal و LiCl و PVDF از طرف دیگر برهم‌کنش بین Li^+ و گروه الکترون‌دهنده از است که باعث تشکیل شبکه درشت‌مولکول می‌شود [۱۴]. این افزایش در گرانزوی محلول باعث به تأخیر افتادن نفوذ متقابل حلal-ضدحلال می‌شود و به عنوان اثر سیستیکی موجب جدایی تأخیری و مانع از تشکیل حفره‌های انگشتی می‌شود. بنابراین، در غلظت‌های کمتر LiCl، اثر ناپایداری ترمودینامیکی که به جدایی سریع و افزایش طول حفره‌های انگشتی منجر می‌شود. در رقابت با سیستیک، به عنوان



شکل ۴- طیف FTIR مربوط به غشاها تهیه شده از محلول خالص و حاوی ۵٪ وزنی افزودنی LiCl.



شکل ۷- اثر دمای حمام و غلاظت افزودنی بر استحکام مکانیکی غشاها.

تخت PVDF نشان داده شده است. با افزایش دمای حمام مقدار استحکام کششی غشا افزایش یافته است. همان‌طور که پیش تر اشاره شد، علت این موضوع را باید در توده و عمق غشا جست‌وجو کرد. با توجه به تصاویر SEM مشاهده می‌شود، با افزایش دما تخلخل انگشتی کاهش می‌یابد. در نتیجه انتظار می‌رود، استحکام کششی آن افزایش یابد که با نتیجه حاصل از آزمون استحکام کششی مطابقت دارد. همچنین، ساختار گلوبولی حاصل از حمام با دمای کم استحکام کمتری در مقایسه با ساختار اسفنجی تشکیل شده در دمای زیاد دارد. افزون بر این، استحکام کششی غشاها با افزایش مقدار LiCl روند کاهشی دارد. در ۰ تا ۲/۵٪ وزنی LiCl، حفره‌های انگشتی به شدت رشد داشته که باعث کاهش سریع استحکام کششی در این محدوده است. این نتیجه مشابه نتایج به دست آمده توسط Bottino و همکاران و نیز Tomaszewska و همکاران [۱۴، ۱۵] است. آنها نشان دادند، با افزایش مقدار LiCl در محلول اولیه پلیمری، حفره‌های بزرگ در ساختار غشاها تخت PVDF تشکیل شده، بنابراین تخلخل غشا افزایش و استحکام کششی آن کاهش می‌یابد. اما در غلاظت‌های زیاد LiCl با وجود کاهش حفره‌های انگشتی که انتظار افزایش استحکام کششی را ایجاد می‌کند، باز هم کاهش بسیار ضعیف در استحکام کششی غشا مشاهده می‌شود که علت آن مشخص نشد.

عملکرد غشاها

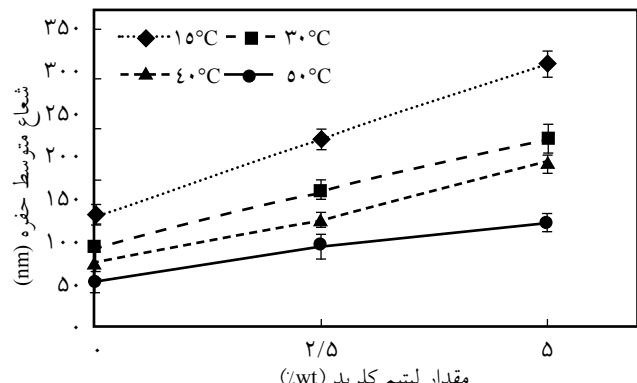
عملکرد غشاها ساخته شده در این پژوهش با جداسازی محلول هیومیک اسید بررسی شد. مواد هیومیک درشت‌مولکولهایی با وزن مولکولی کم تا متوسط هستند که از اجزای آلیفاتیک و آروماتیک با گروههای عاملی غالباً کربوکسیلی و فنولی تشکیل یافته‌اند [۲۴]. این مواد نقش بسیار مهمی در گرفتگی غشاها مصرفی در فرایندهای فیلترکردن دارند، بنابراین بررسی مقدار دفع یا پس‌زنی این مواد با

مقدار تراوایی آب خالص بیشتر در اثر کاهش تخلخل سطحی است. افزون بر این، روند افزایشی برای تراوایی آب بر حسب مقدار LiCl مشاهده می‌شود که در مقدار ۰ تا ۲/۵٪ وزنی از افزودنی، شب تندری دارد. در مقدار ۰ تا ۲/۵٪ وزنی از LiCl هر دو عامل تخلخل سطحی و توده به طور همسو در جهت افزایش تراوایی آب خالص هستند. بنابراین، پیش‌بینی افزایش تراوایی در این محدوده با نتیجه آزمون‌ها تطابق دارد. اما در محدوده غلاظت ۲/۵٪ LiCl با وجود کاهش حفره‌های انگشتی، تراوایی آب خالص افزایش یافته است. این موضوع حاکی از این است که در مقدار تراوایی آب خالص پیش از تخلخل توده مقدار تخلخل سطح اهمیت دارد. بنابراین، مقدار تراوایی در این محدوده با شبکه کمتری افزایش یافته است.

افزون بر این، نتایج حاصل از اندازه‌گیری شعاع متوسط حفره‌ها که در شکل ۶ نشان داده شده است، مؤید نتایج تراوایی آب خالص است. همان‌طور که مشاهده می‌شود، افزایش مقدار افزودنی باعث افزایش شعاع متوسط حفره‌های سطحی و در نتیجه افزایش مقدار تراوایی آب خالص غشاها می‌شود. از سوی دیگر، افزایش دمای حمام انعقاد باعث کاهش اندازه و نیز تعداد حفره‌های سطحی می‌شود. همچنین، مقایسه خطوط نشان داده شده در شکل ۶ نشان می‌دهد، اثر دمای حمام انعقاد در غشاها کمتر است و با افزایش مقدار LiCl اثر دما بر متوسط شعاع حفره‌ها افزایش می‌یابد. به عنوان مثال، متوسط شعاع حفره‌ها در غشاها افزایش از ۱۳۱ nm در دمای ۱۵°C به ۵۲ nm در دمای ۵۰°C کاهش می‌یابد، در حالی که در غشاها حاوی ۵٪ وزنی LiCl از ۳۱۰ nm در دمای ۱۵°C حمام به ۱۲۲ nm در دمای ۵۰°C می‌رسد.

استحکام کششی

در شکل ۷ اثر اصلی دمای حمام بر مقدار استحکام کششی غشاها

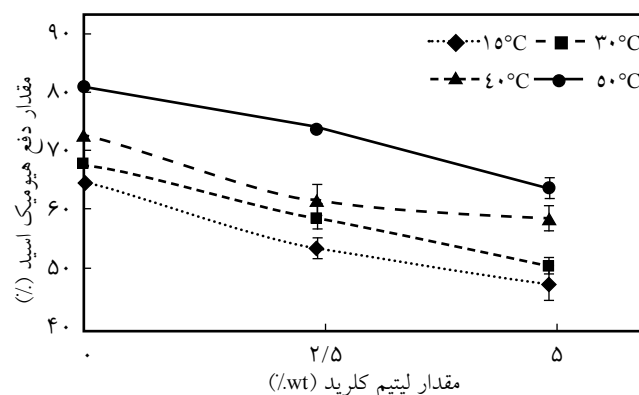


شکل ۶- اثر دمای حمام و مقدار افزودنی بر شعاع متوسط حفره‌های غشاها.

از سوی دیگر، وجود افزودنی LiCl باعث افزایش اندازه متوسط شعاع حفره‌ها شده و بنابراین تعداد بیشتری از مولکول‌های هیومیک اسید از غشاها عبور می‌کند و مقدار دفع افزایش می‌یابد.

نتیجه‌گیری

در پژوهش حاضر، اثر دمای حمام انعقاد و افزودنی LiCl بر ساختار و عملکرد غشاها PVDF بررسی شد. با توجه به اینکه دمای حمام انعقاد هم در ترمودینامیک و هم در سیستیک جدایی فاز محلول پلیمری اثر دارد، مشاهده شد، افزایش دمای حمام انعقاد باعث افزایش پایداری ترمودینامیکی سامانه می‌شود و در نتیجه اندازه درشت حفره‌ها کاهش می‌یابد. بنابراین، به علت کاهش تخلخل کلی غشاها، استحکام مکانیکی غشاها افزایش و مقدار تراوایی آب غشاها کاهش می‌یابد. در نقطه مقابل وجود افزودنی LiCl باعث افزایش تعداد و اندازه متوسط شعاع حفره‌های سطحی غشاها می‌شود، در نتیجه مقدار تراوایی آب خالص افزایش اما استحکام مکانیکی و مقدار پس‌زنی هیومیک اسید کاهش می‌یابد. به طور کلی، افزایش مقدار LiCl یا کاهش دمای حمام انعقاد باعث افزایش شعاع متوسط حفره‌ها سطحی و در نتیجه کاهش مقدار پس‌زنی هیومیک اسید می‌شود.



شکل ۸- مقدار دفع هیومیک اسید به وسیله غشاها با دمای حمام و مقدار افزودنی.

غشاها ساخته شده می‌تواند معیار مناسبی از عملکرد آنها باشد [۲۵].

شکل ۸ مقدار دفع هیومیک اسید را با غشاها مختلف نشان می‌دهد. به طور کلی مشاهده می‌شود، افزایش مقدار افزودنی LiCl باعث کاهش مقدار دفع هیومیک اسید می‌شود، در حالی که افزایش دمای حمام انعقاد موجب افزایش مقدار دفع می‌شود. همان‌طور که گفته شد، افزایش دمای حمام انعقاد باعث کاهش شعاع متوسط حفره‌ها در سطح غشاها می‌شود و قابلیت عبور مولکول‌های هیومیک اسید از غشاها کاهش می‌یابد. در نتیجه مقدار دفع یا به عبارت بهتر، بازده جداسازی غشاها با افزایش دمای حمام انعقاد افزایش می‌یابد.

مراجع

1. Nunes S.P. and Peinemann K.V., *Membrane Technology in the Chemical Industry*, Wiley-VCH, Weinheim, 11-36, 2001.
2. Baker R.W., *Membrane Technology and Application*, Wiley, Chichester, 4-8, 2004.
3. Pabby A.K., Rizvi S.S.H., and Sastre A.M., *Handbook of Membrane Separations: Chemical, Pharmaceutical, Food, and Biotechnological Applications*, CRC, Boca Raton, 3-5, 2009.
4. Li N.L., Fane A.G., Ho W.S.W., and Matsuura T., *Advanced Membrane Technology, and Applications*, Wiley, New Jersey, 101-104, 2008.
5. Liu F., Hashim N.A., Liu Y., Abed M.R.M., and Li K., Progress in the Production and Modification of PVDF Membranes, *J. Membr. Sci.*, **375**, 1-27, 2011.
6. Ulbricht M., Advanced Functional Polymer Membranes, *Polymer*, **47**, 2217-2262, 2006.
7. Van de Witte P., Dijkstra P.J., Van den Berg J.W.A., and Feijen J., Phase Separation Processes in Polymer Solution in Relation to Membrane Formation, *J. Membr. Sci.*, **117**, 1-31, 1996.
8. Çulfaz P.Z., *Microstructure Hollow Fibers and Microsieves; Fabrication, Characterization and Filtration Applications*, PhD Dissertation, University of Twente, December 2010.
9. Kaiyu W., *Fabrication and Characterization of Ultrafiltration and Nanofiltration Membranes*, PhD Dissertation, National University of Singapore, May 2005.
10. Bottino A., Capannelli G. Munari S., and Turturro A., Solubility Parameters of Poly(vinylidene fluoride), *J. Polym. Sci., Part B: Polym. Phys.*, **26**, 785-794, 1988.
11. Kesting R.E., *Synthetic Polymeric Membranes: A Structural Perspective*, Wiley, USA, 94-96, 1985.
12. Bottino A., Camera-Roda G., Capannelli G., and Munari S., The Formation of Microporous Polyvinylidene Difluoride Membranes by Phase Separation, *J. Membr. Sci.*, **57**, 1-20, 1991.

13. Ismail A.F. and Yean L.P., Review on the Development of Defect-free and Ultrathin-Skinned Asymmetric Membranes for Gas Separation Through Manipulation of Phase Inversion and Rheological Factors, *J. Appl. Polym. Sci.*, **88**, 442-451, 2003.
14. Bottino A., Capannelli G., Munari S., and Turturro A., High Performance Ultrafiltration Membranes Cast from LiCl Doped Solutions, *Desalination*, **68**, 167-177, 1988.
15. Tomaszewska M., Preparation and Properties of Flat-Sheet Membranes from Poly(vinylidene fluoride) for Membrane Distillation, *Desalination*, **104**, 1-11, 1996.
16. Wang D., Li K., and Teo W.K., Porous PVDF Asymmetric Hollow Fiber Membranes Prepared with the Use of Small Molecular Additives, *J. Membr. Sci.*, **178**, 13-23, 2000.
17. Fontananova E., Jansen J.C., Cristiano A., Curcio E., and Drioli E., Effect of Additives in the Casting Solution on the Formation of PVDF Membranes, *Desalination*, **192**, 190-197, 2006.
18. Mansourizadeh A. and Ismail A.F., Effect of LiCl Concentration in the Polymer Dope on the Structure and Performance of Hydrophobic PVDF Hollow Fiber Membranes for CO₂ Absorption, *Chem. Eng. J.*, **165**, 980-988, 2010.
19. Yu L.Y., Xu Z.L., Shen H.M., and Yang H., Preparation and Characterization of PVDF-SiO₂ Composite Hollow Fiber UF Membrane by Sol-Gel Method, *J. Membr. Sci.*, **337**, 257-265, 2009.
20. Jafarzadeh Y. and Yegani R., Analysis of Fouling Mechanisms in TiO₂ Embedded High Density Polyethylene Membranes for Collagen Separation, *Chem. Eng. Res. Design*, **93**, 684-695, 2015.
21. Jafarzadeh Y., Yegani R., and Sedaghat M., Preparation, Characterization and Fouling Analysis of ZnO/Polyethylene Hybrid Membranes for Collagen Separation, *Chem. Eng. Res. Design*, **94**, 417-427, 2015.
22. Wang X., Zhang L., Sun D., An Q., and Chen H., Formation Mechanism and Crystallization of Poly(vinylidene fluoride) Membrane via Immersion Precipitation Method, *Desalination*, **236**, 170-178, 2009.
23. Kong J. and Li K., Preparation of PVDF Hollow-Fiber Membranes via Immersion Precipitation, *J. Appl. Polym. Sci.*, **81**, 1643-1653, 2001.
24. Hong S. and Elimelech M., Chemical and Physical Aspects of Natural Organic Matter (NOM) Fouling of Nanofiltration Membranes, *J. Membr. Sci.*, **132**, 159-181, 1997.
25. Song H., Shao J., Wang J., and Zhong X., The Removal of Natural Organic Matter with LiCl-TiO₂-Doped PVDF Membranes by Integration of Ultra-filtration with Photocatalysis, *Desalination*, **344**, 412-421, 2014.